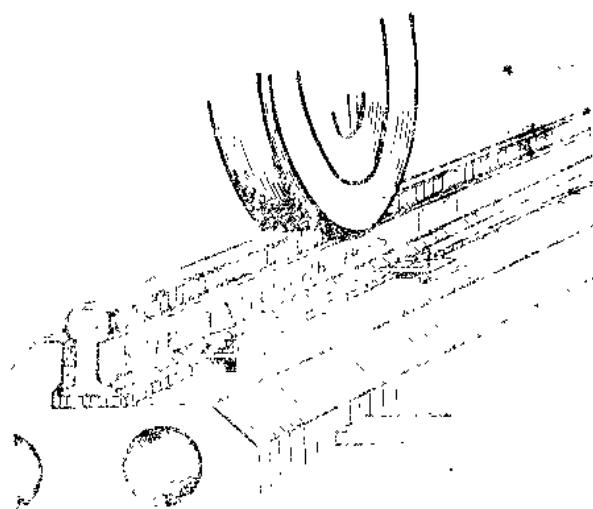


鐵道線路上部構造 各部分的計 算

C. E. 斯科洛杜莫夫 著



唐 山 鐵 道 學 院

1 9 5 8



鐵道綫路上部構造 各部分的計算

F. E. 斯科洛杜莫夫著

唐山鐵道學院印刷厂印

序 言

本書是1957—1958年度，向中國各鐵道學院“鐵道線路及線路業務”教研組的教師們及鐵道部鐵道科學研究院線路研究組研究人員講授“鐵道線路”課程的講稿。

“鐵道線路”共分五冊出版：

1. 線路上部構造；
2. 直線及曲線上的軌道；
3. 軌道的連接和交叉；
4. 線路構造各部分的計算；
5. 路基。

編寫本書的主要參考資料是作者在列寧格勒鐵道學院講授時的講義和講課材料。

編寫本書時，作者遵循了：

甲)蘇聯交通部教育總局(*ГУУЗ—МПС*)批准的“鐵道線路構造”課程的教學大綱。並按照中國高等學校工作的特點，作了修改和補充。乙)本課程的主要參考書如：

1. “鐵道線路及線路業務”*P.M.*沙湖年慈；
2. “鐵道線路構造”第三卷，*P.M.*沙湖年慈；
3. “軌道的連接和交叉”，*G.B.*阿梅林。

此外，編寫時還利用了其他一些參考資料（見參考文獻一覽表）。

在某些情況下，作者直接引用了上述參考書中的個別原理、敘述及說明。其中引用最多的有：

- 甲)第一冊第四章§ 5 的 1—2 中：鋼筋混凝土軌枕製造工藝過程的介紹。
- 乙)第二冊第 6 章§ 1—4 中：緩和曲線的實際測設方法。
- 丙)第三冊第 4 章§ 4 中：曲線上單開道岔的鋪設。

按照聽課者的要求，對某些個別部分講得比較深入一些。

編寫本書時，還部分地利用了作者在中國期間所研究和建議的材料。

照片和插圖，除了利用本人的以外，還廣泛採用了上述各參考書及其他各書中的插圖。

第四冊中包括了研究生洪建華（中間扣件的計算）、王遠清（鋼筋混凝土軌枕的計算）及邵力新（縱向軌枕的計算），在作者指導下，對研究和採用新型線路結構的試驗材料。

最後，對提供必要資料及熱情參加本書的出版與進行科學研究工作的唐山鐵道學院“鐵道線路”教研組全體人員、教研組主任沈智揚教授、院領導和其他工作人員以及中南土建學院趙方民教授和鐵道部鐵道科學研究院及工務局的工作同志，致以深切的謝意。

作 者

目 錄

序 言

第一章 線路上部構造各部分的計算

§ 1 概述	1
§ 2 強度計算所必需的線路主要特徵	2
§ 3 主要的計算系數	3
§ 4 鋼軌的淨力計算	5
§ 5 扣件內應力的計算	10
1 魏尼板的計算	10
2 接頭螺栓的計算	14
3 墊板的計算	16
4 扣板的計算	19
§ 6 鋼軌基礎的計算	21
1 木枕的計算	21
2 鋼筋混凝土軌枕的設計和計算 ^{*)}	22
3 其他形式鋼軌基礎的計算	35
§ 7 道碴層及路基頂面應力的計算	59
甲) 沿軌枕底面上應力的計算	59
乙) 在道碴層內深度為 h 处的應力計算	60

第二章 線路的動力計算

§ 1 動力計算的基礎	68
§ 2 概率論應用在線路計算強度中的一些基本原理 ^{*)}	71
§ 3 確定車輪對鋼軌總的動壓力 P_{dyn}	80
§ 4 路基與線路上部構造各元素的動力計算(按1954年計算規程)	84
1 鋼軌底部邊緣的最大彎曲應力	84
2 墊板下軌枕上的最大法向應力	87
3 道碴內的最大應力	88

4 路基頂面上的最大壓力 ······ ······ ······ ······ ······ ······ ······	88
5 線路各元素中的容許壓力 ······ ······ ······ ······ ······ ······ ······	90

第三章 不平順對線路的影響

§ 1	不平順及其对应力的影响 · · · · ·	92
§ 2	鐵路上不平順的种类 · · · · ·	94
§ 3	矩形、正弦綫形及拋物綫形的个别 (彼此无关) 的不平順状态的动力作用 · · · · ·	95
§ 4	确定車輪通过任意形狀的不平順地段时的附加力 $P_{\text{附加}}$ · · · · ·	101

第四章 水 平 力

§ 1	橫向水平力 · · · · ·	104
§ 2	在側向力的作用下，鋼軌的撓曲及扭轉 · · · · ·	107
§ 3	縱向水平力 · · · · ·	110

第五章 纔路計算中的某些問題

§ 1	无接缝线路	117
1	概述	117
2	在纵向力作用下线路的稳定性	118
§ 2	关于局部应力的概念	127
§ 3	新型线路结构及其计算	129
附录 1	由预应力钢筋混凝土结构设计规范 (II—148—52) 中摘录的一些原则	135
附录 2	机车车辆的特性	141
参考文献		143

第一章 線路上部構造各部分的計算

§ 1 概述

線路上部構造的整体結構設計或它的个别部分的設計都应根据技术經濟計算来进行。鐵道線路不論就作用在線路上力的多样性來說，或就其結構內部变形的多样性來說，都是很复杂的工程結構物。

和对任何結構物一样，对于線路上部構造及其个别組成部分也都有一定的要求。

上部構造應該：

1) 有足够的强度，以便当其部件达到最大磨耗时，仍能完全保証列車以規定的速度安全地运行。

2) 是完全稳定的，在任何时刻線路的工作都应保証全部結構以及其个别部件相互之間的稳定性。

3) 設計線路時，使能保証車体沿線路运行的稳定性及其所消耗的能量为最少。

除上述要求外，上部構造的結構还必須經久耐用同时造价低廉。線路構造的設計，应使它所需的建造費及維修費为最少。組合另件時应保証便于进行修理工作及个别另件的更換，同时又能保証最低限度地破坏列車的正常运行。

尽管任务如此明确，尽管在上部構造設計及計算方面进行了很多工作，但線路計算的理論还没有获得应有的發展，与机車車輛以不同速度沿線运行的条件有关的大部分課題，目前还仅限于按線路强度計算及部分地按線路稳定計算来解决。

線路强度計算的理論是和兴建最初几条铁路同时开始发展的。

远在1835年波·波·梅里尼克夫(П. П. Мельников)工程师在他所著的“論铁路”一書中，第一次提出了确定鋼軌应力的公式，並提出了必须考慮車体运行速度的影响問題。

1874年費得尔·恩罗里得(Фёдор Энрольд) 在得·日·茹拉夫斯基(Д. Я. Журавский) 工程师工作的基础上，研究了求算鋼軌最大撓曲力矩的公式。

1888年—1897年郝勞节茲基教授研究出垂直力及水平力同时作用下計算鋼軌的方法，提出了求力矩及支承反力的公式，並曾試圖考慮动荷載在線路上的动力作用。

1903—1915年，恩·波·彼特羅夫(Н. П. Петров) 院士奠定了現代線路动力計算理論的基础。在多年研究中，彼特羅夫首創了当車輪沿鋼軌运行时所产生的垂直力平衡的微分方程式，首次研究了車輪及鋼軌不平順对軌內应力的影响，並研究了接触应力的理論及其他問題。

把鋼軌当作連續彈性基础上的梁來計算的可能性已被彼特羅夫院士的著作証實了。

卡·友·蔡卡林斯基 (*К.Ю.Деклинский*) 教授的关于在弯道中車輛对于線路作用的經典研究在科学上是巨大的貢獻。

十月社会主义革命以后，在線路計算理論方面的研究才得到了最广泛的發展。

苏联运输事業获得了極好的試驗基地，如中央科學研究院，在那里研究出了線路强度动力計算的新方法，並解决了線路及机車車輛相互作用的一系列問題。

在荷載作用下鐵道線路發生一系列的变形：撓曲，压缩，拉伸，扭轉等等。

作用在线路上的力乃是一些多变力的复杂綜合与其相应的变形亦極為錯綜复杂。以致与線路計算有关的許多問題很难用正确的数学公式加以解决，因此目前在實踐中，仅限于用近似的計算方法及一些經驗公式。

§ 2 強度計算所必需的線路主要特征

線路强度計算，以下列假設为基础：

1) 認为鋼軌是置于許多彈性点支座上，或置于連續的等彈性基础上的梁。

鋼軌在线路上实际的工作情况与所采用的計算方式略有不同。但已往的計算表明，按上面兩种方案計算結果之差不超过 5—7%，因而可以这样假設。

2) 計算中，假設基础單位面积上的压力和該压力所引起的彈性沉落，成直線关系，即 $P = Cy$ 。

式中： P ——單位面积上彈性基础的反力。

y ——彈性沉落。

C ——基础的彈性特征系数。

这种假定不能反映出甚至于在靜力作用下，在彈性物体中所發生的真實現象，但由于沒有更好的办法，只好采用这种假定。在实际运营条件下所發生的沉落範圍中誤差不大，因而采用这种假定对計算精确度尙无影响。

随着列車运行速度的提高，在列車通过后，基础还来不及沉落則上述假定失去实际意义，因此应推求出彈性沉落与作用力間新的关系式。

3) 計算，是按完整的鋼軌截面进行的，不考虑螺栓孔眼的削弱。

4) 由于垂直力及水平力的作用所产生的应力，一般分別計算。同时假設，垂直力作用在鋼軌的对称面中，兩股軌綫受相同的荷載作用。

5) 由于目前对水平力的作用研究得还不充分，所以計算时，用改正系数及增大安全系数的办法来考慮其影响。

6) 因为获得各变化力准确的数学公式是繁杂的，所以进行动力計算时，用一些經驗公式來求这些变化力的数值。

7) 計算是对于軌节中間斷面进行的，並認為鋼軌是鋪設在直線区段上，同时線路及机車車輛是处在容許誤差內的完善状态中。

8) 強度計算时，鋼軌、扣件及軌枕的自重忽略不計。

上述的前提及假設与線路的真實情況有出入，但是在現有的列車运行速度下，进行实际計算时这些出入不大，可以忽略不計。

§ 3 主要的計算系數

为了计算線路上部構造的强度，还需有下列的基本的或初始系数：

1) C — 公斤/公分³ — 軌枕的墊床系数，該系数在数值上等于作用在基础的單位面积上一个垂直的力，因而引起基础的單位的彈性沉落。

系数 C 表示軌枕下基础的彈性特征，此外並假設在力的作用下，軌枕不改变自己的厚度，系数 C 与軌枕的尺寸及質量以及和線路的其它部件无关。

在線路計算細則中，采用下列 C 值：

碎石道碴 $C = 6$ 公斤/公分³

Ⅱ等礫石、爐碴、貝壳及沙質道碴層 $C = 4$ 公斤/公分³

事实上軌枕的墊床系数不是固定的数值，它在極大的范围内根据道碴的質量及粒徑大小、湿度、温度及其它因素而变动。

对于碎石道碴及級配礫石，系数 C 的变化范围为 5—10 公斤/公分³，但对於細颗粒的道碴， C 为 2—15 公斤/公分³。

2) Δ — 鋼軌基礎的彈性系数（以公斤/公分表示）。在数值上等于作用在鋼軌下斷面中的軌枕上的力，該力引起軌枕的單位彈性沉落。

若軌枕是絕對剛性的，則 $2 \Delta = C a \sigma$ 。

式中： a — 軌枕長度， σ — 軌枕底面寬度。

事实上在荷載作用下軌枕会撓曲的，在鋼軌下的彈性沉落 y_p 比平均沉落 y_c 为大（图 1）。

因此 $2 \Delta = C a \sigma y_p = C a b y_p$

式中 a — 沉落 y_p 与軌下斷面內最大沉落的比。

但是根据鋼軌基礎的彈性系数 Δ 的定义，彈性沉落等于 1，所以：

$$\Delta = C a \frac{a \sigma}{2}$$

$\alpha = \frac{y_p}{y_c}$ — 軌枕撓曲系数。其值可

用試驗或計算方法确定，对于木枕 α 值在 0.70~0.90 之間。

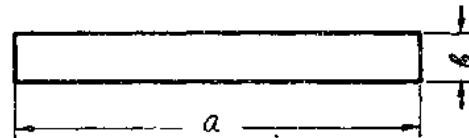
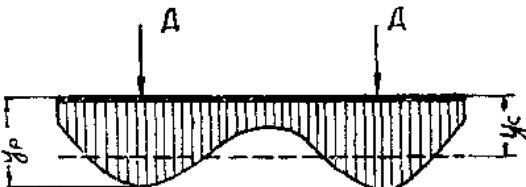


图 1

在剛性基礎（整体基础，地下鐵道的線路上等）上修建線路时，系数 C 及 Δ 的数值，应根据实际上被压缩及被撓曲的部分（包括彈性緩冲器，彈性隔板及其它设备）的彈性特征近似地确定之。

图 2 概略地示出了用橡皮墊將鋼軌固定到整体基础上和地下鐵道的混凝土基础上的情形（在鋼軌底下采用了橡皮墊及埋入到基础中的軌枕短塊）。

若彈性部件（彈性墊）的厚度為 h ，彈性模量 E ，並被均勻的力所壓縮，使在單位面積上造成的壓力為 σ ，則根據虎克定律：

$$\sigma = E \epsilon$$

式中 ϵ ——彈性部件的相對壓縮量，等於絕對的壓縮量與部件厚度的比。

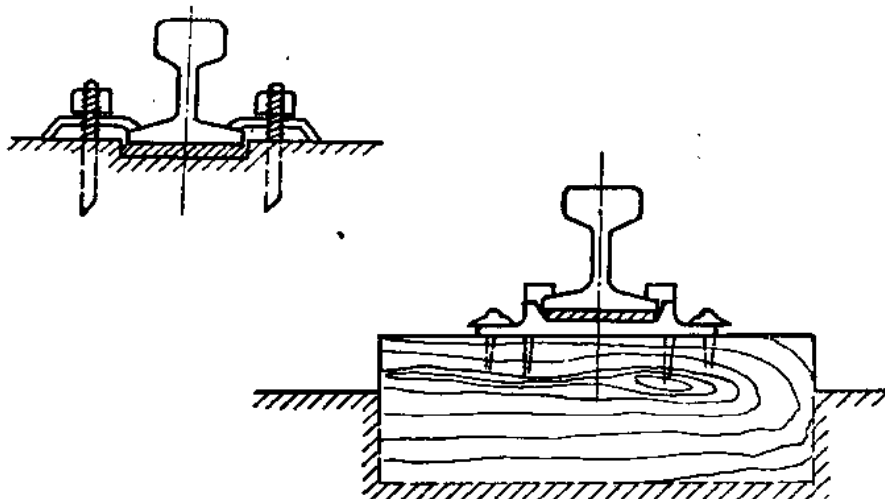


图 2

根據系數 C 的定義，如果絕對壓縮值 $y=1$ ，則系數 C 將等於單位壓力 σ ，

因此 $C = \frac{E}{h}$

若彈性部件呈波紋型，則系數 C 應用實驗確定之。

若鋼軌的彈性部件不止一個，而是幾個，並且傳遞壓力到第 i 個部件上的面積等於 w_i ，則由於作用在受壓部件上的壓力 P ，（按假定沉落與壓力成比例關係）就會產生壓縮量 y_i 。按虎克定律：

$$\frac{P}{w_i} = E_i \cdot \frac{y_i}{h_i}$$

因而可求出 $y_i = \frac{Ph_i}{w_i E_i}$

根據系數 A 的定義將有： A 等於 P ，如果所有的彈性部件沉落之總和等於 1 時，即

$$\sum_{i=1}^n y_i = 1 \quad \text{或} \quad A \sum_{i=1}^n \frac{h_i}{w_i E_i} = 1$$

由上式可求得 A 值：

$$A = \frac{1}{\sum_{i=1}^n \frac{h_i}{w_i E_i}} = \frac{1}{\sum_{i=1}^n \frac{1}{C_i w_i}}$$

若除了壓縮之外，還有彈性部件的撓曲，則應考慮鋼軌下斷面內的撓曲縱座標。

若軌枕撓曲時，其強度等於：

$$y_\delta = \frac{2 A}{C_\delta \alpha a e}$$

式中 C_δ ——軌枕下面鐵床系数。

為了確定 A 值，我們有方程式：

$$\sum_{i=1}^n y_i + y_\delta = 1$$

$$\text{因此 } A \left(\sum_{i=1}^n \frac{h_i}{w_i E_i} + \frac{2}{C_\delta \alpha a e} \right) = 1$$

所以，在一般的情況下， D 的公式具有如下的形式：

$$A = \frac{1}{\sum_{i=1}^n \frac{h_i}{w_i E_i} + \frac{2}{C_\delta \alpha a e}} = \frac{1}{\frac{2}{C_\delta \alpha a e} + \sum_{i=1}^n \frac{1}{C_i w_i}}$$

進行計算所需的其它主要特徵，示於計算本身過程中。

§ 4 鋼軌的靜力計算

目前線路強度計算的基礎是計算鋼軌時，把鋼軌作為置於許多單個的彈性支座上或連續的彈性基礎上的無限長的連續梁來看待。

把鋼軌當作是置於許多彈性支座上的梁的研究方法，比第二個方法几乎早半個世紀以前就有了，並在西歐各國獲得了廣泛的發展，在俄國於上世紀末及本世紀初，也得到了廣泛的發展。

二十世紀初葉，彼特羅夫、克里洛夫院士等的著作對把鋼軌當作是在連續的等彈性基礎上梁的新的計算方法奠定了基礎，這個方法得到普遍的公認，在蘇聯、美國及世界大多數國家裏得到廣泛的採用。

1. 把鋼軌當作是置於許多彈性支座上的梁的計算方法

把鋼軌當作是置於許多彈性支座上的梁的計算公式，是利用克拉別依倫（Клебен-рон）的方法，起始條件法等進行的。

當用上法進行線路強度計算時，須進行很多的計算工作，自从弗·弗·格里郭利也夫（Б. Б. Григорьев）教授制定出一些影響線及計算表以後，才有可能很快地確定出撓曲力矩及支承反力之值。格里郭利也夫教授利用了馬克斯威爾（Максвелл）的相互位移的原則研究出了置於許多彈性支座上的連續梁的計算方法。

表 1 列出置於許多彈性支座上的十一孔梁跨孔中間處的撓曲力矩影響線的縱座標。

表 2 列出了置於彈性支座上的十孔梁，作用在中央支點上的壓力的影響線的縱座標。

當計算單獨彈性支座上的梁時，還有一個主要的特徵是：表示梁及基礎的彈性特徵的系數 γ 。

由結構力学可求出 γ 值： $\gamma = \frac{6EI}{l^3A}$ ；令 $\frac{6EI}{l^3A} = B$ ，則

$\gamma = \frac{B}{A}$ ——鋼軌與支座的剛比系数，這個系数系无名数，它等于兩個力的比值，

此处 A ——鋼軌基础的彈性系数， B ——表示一个集中荷載，它作用在置于兩個剛性支座上的梁的中点（梁的兩個支座間的距离等於兩個軌枕跨孔值）上，並在力的作用点处引起梁的撓度等於 l 。可證明如下：

置於兩個剛性支座上的梁的撓曲等於：

$$f = \frac{PL^3}{48EI}$$

以 $P = B$ ， $f = l$ ， $L = 2l$ 代入上式，則：

$$f = \frac{B(2l)^3}{48EI}$$

因而 $B = \frac{6EI}{l^3A}$ 公斤/公分。

齊姆爾曼（Чиммерман）博士及彼特羅夫院士分別研究了三孔及六孔梁後，得到了系数 γ 之值和使鋼軌發生最大撓曲力矩的公式：

$$M_{max} = \frac{8\gamma + 7}{4\gamma + 10} \cdot \frac{Pl}{4}$$

當確定不是由一個荷載而是由一個荷載系所引起的撓曲力矩及支座反力時，首先根據求出的 γ 值，從表中找出對於每一軸的縱座標 μ 及 η 然後按下式計算最大的撓曲力矩及支承反力：

$$M = l \sum P \mu \quad Q = \sum P \eta$$

鋼軌的撓度值：將為 $y = \frac{Q}{A}$ 。

因為所得到的 γ 值一般不為整數而在根據 μ 及 η 的表所查出的 γ 值為整數，所以使用表時應用內插法。為方便起見，表中由所研究的斷面到各荷載的距離，都以各該距離與軌枕跨孔長度之比值表示之。當所得到的實際比值 $\frac{x}{l}$ 與表中的數值不吻合時，同樣地在最接近的數值之間用內插法計算之。

為方便起見，計算可列成下表（表3）：

表 3

輪軸順號	x ：由斷面到車軸的距離（公分）	距離的比值 $\frac{x}{l}$	當 $\gamma > \gamma_p$ ， $\gamma < \gamma_p$ 及 γ_p			P ：一個車輪上的荷載（公斤）	$P\mu$ （ $P\eta$ ）（公斤）
			$\mu(\eta)$ 之值				
						$\Sigma P\mu = \dots\dots$	

$$M = l \sum P \mu \quad \sigma = \frac{M}{W}$$

2. 把鋼軌當作置於連續等彈性基礎上的梁的計算方法

當把鋼軌當作置於連續等彈性基礎上的梁並進行研究時，認為 Δ 是均勻地作用在軌枕間跨度全部長度內，即用均勻分布在一個跨孔上的，強度為 u 的均布荷載（圖 3）代替集中荷載，均布荷載強度或每延公尺鋼軌上的壓力為 $u = \frac{\Delta}{l}$ 。

式中 l —— 軌枕跨孔的大小。

u —— 公斤/公分²：鋼軌基礎的彈性模量。

當把鋼軌視為置於連續彈性基礎上的梁時，則 u 表示鋼軌下基礎的彈性特徵的數量， u 在數值上的大小相當於加在鋼軌單位長度上的力，它能使鋼軌下的基礎發生單位彈性沉落。

鋼軌基礎彈性模量是按將鋼軌置於連續彈性基礎上計算線路強度時主要的系數。

彈性模量的數值與軌枕根數及其尺寸與狀態、道碴種類及其緊密程度、道碴凍結及融化的情況有關。路基的狀況，尤其當運行速度不大時也同樣能影響到 u 值的大小。

對於道碴搗固良好的線路，可採用 $u = 220 - 350$ 公斤/公分²（對於碎石道碴）或 $u = 150 - 250$ 公斤/公分²（對於沙質道碴）。

確定彈性模量的實驗證明：它的實際數值在很大範圍內變動：從未凍結狀態道碴的 50—350 公斤/公分² 到凍結狀態道碴的 800—900 公斤/公分²。

因此當需要很高的精度時，彈性模量之值應通過在該區段上的實驗求得。

把鋼軌當作置於連續彈性基礎上的梁時，其計算公式的演算如下：

在置於連續彈性基礎上的梁（鋼軌）上，作用一集中荷載 P 。我們這樣來選取座標：使力 P 的方向通過原點；鋼軌縱軸右邊部分為正的 x 座標軸；向下的 y 軸為正的；向上作用的力以及使梁的撓曲向正縱座標一邊凸出的力矩都認為是正的。（見圖 4）。

彈性線的微分方程式為：

$$\frac{M}{E I} = \frac{I}{\rho} = \pm \sqrt{\frac{\frac{d^2 y}{dx^2}}{\left[1 - \left(\frac{dy}{dx}\right)^2\right]^{3/2}}}$$

式中： ρ —— 力矩 M 作用點處彈性線的曲率半徑。

$E = 2.1 \times 10^6$ 公斤/公分² —— 軌鋼的彈性模量。

I —— 鋼軌對平行於軌底的中性軸的慣性力矩。

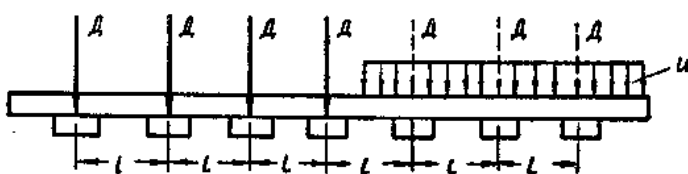


圖 3

$\frac{dy}{dx}$ 之值是傾斜角之正切，這個傾斜角是彎曲梁軸線上某點的切線對於水平線所成的夾角，當變形很小時 $\frac{dy}{dx}$ 與 1 比較起來是很小的，所以這個數值的平方一般可以略去不計。這樣則：

$$M = -E I \frac{d^2y}{dx^2} = -E I y''$$

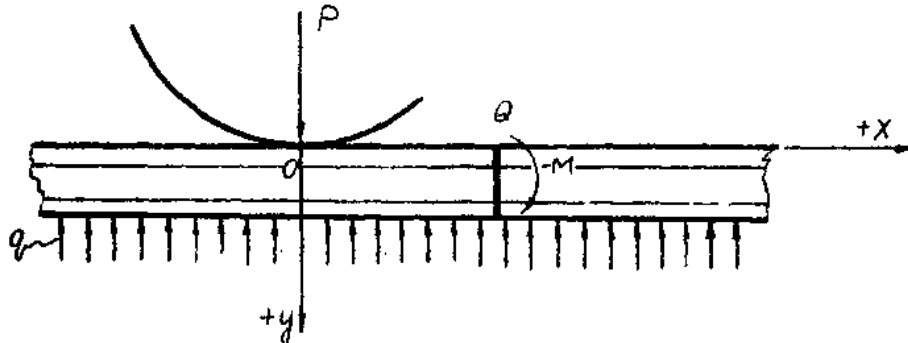


图 4

因為在所研究的情況中僅有一個集中力，並且位於座標原點，因此橫向力及支座反力將為：

$$Q = \frac{dM}{dx} = -E I y''$$

$$q = \frac{dQ}{dx} = -E I y'''$$

支座反力數值以鋼軌基礎的彈性模量表示， $q = uy$ ，則可寫成：

$$q = uy = -E I y'''$$

因此可求得置於連續彈性基礎上梁的撓曲微分方程式：

$$y''' + \frac{u}{E I} y = 0$$

令 $\frac{u}{E I} = 4 K^4$ 或 $K = \sqrt[4]{\frac{u}{4 E I}} \text{ CM}^{-1}$

所得到的系數 K 是把鋼軌當作置於連續等彈性基礎上的梁計算時的比附加主要系數，這個系數稱為鋼軌基礎和鋼軌的剛比系數。

將方程式 $y''' + 4 K^4 y = 0$ 進行一般積分則得：

$$y = C_1 e^{KX} \cos KX + C_2 e^{KX} \sin KX + C_3 e^{-KX} \cos KX + C_4 e^{-KX} \sin KX,$$

積分常數 C_1, C_2, C_3, C_4 由下列的邊界條件以確定之。

I) 當 $x = \infty$ 時， $y = 0$

將 x 及 y 之值代入 y 的方程式中則有：

$$C_1 = C_2 = 0$$

將 C_1 及 C_2 之值代入後，方程式具有下列形式：

$$y = C_3 e^{-KX} \cos KX + C_4 e^{-KX} \sin KX$$

$$2) \text{ 当 } x=0 \text{ 时 } \frac{dy}{dx} = 0$$

將 x 及 $\frac{dy}{dx}$ 之值代入方程式中，移項求解後得：

$$C_3 = C_4 = C$$

將 C_3 及 C_4 之值代入方程式之後，方程式可改寫為下式：

$$y = C e^{-KX} (\cos KX + \sin KX)$$

$$3) \text{ 当 } x=0 \text{ 时}, Q = -\frac{P}{2}$$

因為 $Q = -E I y''$ 所以對方程式右邊部分第三次導函數將等於 $-\frac{P}{2 E I}$ ，所以當 $x=0$

時可求出：

$$C = \frac{P}{8 K^3 E I}$$

當 C 值代入基本方程式後，則有

$$y = \frac{P}{8 E I K^3} e^{-KX} (\cos KX + \sin KX)$$

但因為 $4K^4 = \frac{u}{E I}$ ，即 $4K^4 E I = u$ ，則

$$8 K^3 E I = \frac{2 u}{K}$$

$$\text{所以 } y = \frac{P K}{2 u} e^{-KX} (\cos KX + \sin KX)$$

因為力矩 M 之值等於 $-E I y''$ ，所以取基本方程式的二次導函數可求出：

$$M = \frac{P}{4K} e^{-KX} (\cos KX - \sin KX)$$

$$\text{橫向力 } Q = \frac{dM}{dX} = -\frac{P}{2} e^{-KX} \sin KX$$

$$\text{令 } e^{-KX} (\cos KX - \sin KX) = \mu$$

$$e^{-KX} (\cos KX + \sin KX) = \eta$$

$$\text{則有 } y = \frac{P K}{2 u} \eta; M = \frac{P}{4K} \mu; q = u y = \frac{P K}{2} \eta$$

由置於連續彈性基礎上的梁還原到位於許多軌枕上的鋼軌時，必須注意到，抵抗反力乃集中于軌枕上，所以在一個軌枕上的壓力等於每延公尺的抵抗反力與跨孔長之乘積：

$$Q = q l = u y l$$

或 $Q = -\frac{P K l}{2} \eta$

撓曲力矩 M 、撓度 y 及軌枕上的壓力 Q 的圖解示于圖 5，在這個圖上的 x 值，表示由所研究的斷面到荷載處的水平距離，當在這個距離下 M 、 y 及 Q 的縱座標具有最大值及零值。

根據單位力（如圖 5 所示）相互轉換的原理，這些同時也是 M 、 y 及 Q 的影響線。

在荷載系的作用下，按下列公式確定計算斷面內的 M 、 y 及 Q 值（圖 6）。

$$M = \frac{1}{4K} (P_1 \mu_1 + P_2 \mu_2 + \dots + P_n \mu_n)$$

$$= \frac{1}{4K} \sum_{i=1}^n P_i \mu_i$$

$$y = \frac{K}{2u} (P_1 \eta_1 + P_2 \eta_2 + \dots + P_n \eta_n)$$

$$= \frac{K}{2u} \sum_{i=1}^n P_i \eta_i$$

$$Q = \frac{Kl}{2} (P_1 \eta_1 + P_2 \eta_2 + \dots + P_n \eta_n)$$

$$= \frac{Kl}{2} \sum_{i=1}^n P_i \eta_i$$

式中 $\sum P_i \mu_i$ 及 $\sum P_i \eta_i$ —— 是代替該荷載系的當量荷載。

μ 及 η 的影響線縱座標之值由表中求得，在表中其值換成 $K X$ 的函數。

這裡： K —— 以前求出的基礎及鋼軌的剛比系數。

x —— 影響線的流動橫座標（圖 6）或所研究的斷面到載重處的距離。

鋼軌內的應力，與以前的計算方法一樣，按下式確定：

$$\sigma = \frac{M}{W} \text{ 公斤/公分}^2$$

式中 W —— 鋼軌的抵抗力矩。

§ 5 扣件內應力的計算

1. 魚尾板的計算

接縫處魚尾板的工作情形，與中部有荷載的雙支點梁相同。當接縫中部有荷載時，軌頭壓力在魚尾板中部若干長度 λ 內傳布到魚尾板上。

壓力的傳布是按此線形規律進行的，但是計算時，採用三角形壓力傳布圖，更常見的是用集中荷載代替均布荷載。

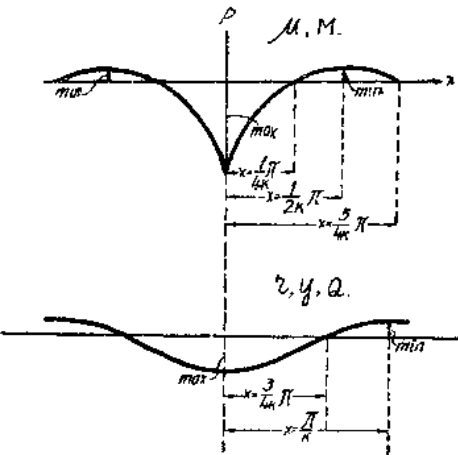


图 5

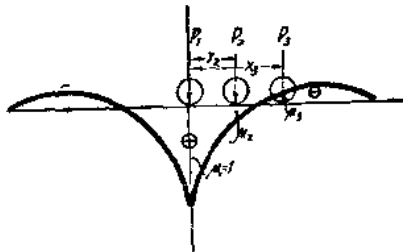


图 6

當荷載位於接縫範圍外時，壓力是由下面通過鋼軌傳布到魚尾板上，而魚尾板的工作如同中部有荷載的雙支點梁，只是由下面傳來作用力。

按魚尾板工作的特點，魚尾板內弯曲应力，以近似於三角形應力圖的形式沿魚尾板長度內分布。*P 43, P 50, P 65* 各型鋼軌所用魚尾板的平均截面為其計算截面。

魚尾板也和鋼軌一樣，是在變量荷載及周期性變化的應力的不固定狀態的條件下工作着。

圖 7 表示車輪在接縫上或接縫附近時，魚尾板工作的示意圖。

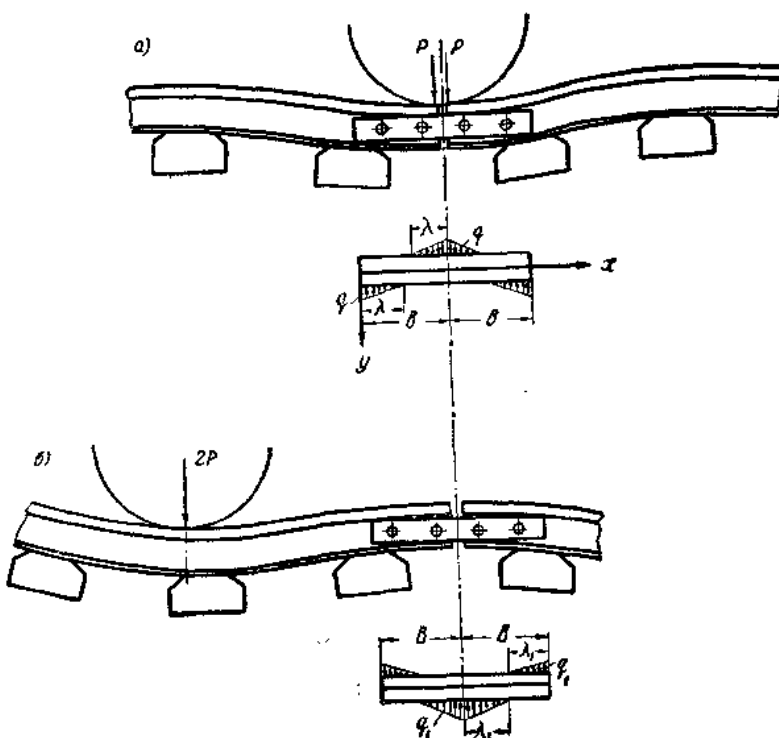


圖 7

根據魚尾板工作情況的分析及其失效情形知道：線路上魚尾板破損的原因是由鋼料的疲勞所引起。

按魚尾板工作的特點，其強度計算由以下各部分組成：

- 1) 計算因靜力而產生的正負力矩的最大值及其相應的應力。
- 2) 計算一定週期時間內，作用在接縫上的垂直力的總和。
- 3) 按鋼料疲勞強度計算魚尾板的耐久性。

要想準確地計算在任意作用的荷載下魚尾板內的應力，是很困難的。因此，實際計算時，鋼軌對魚尾板的壓力採取集中荷載的形式。此時，魚尾板中央弯曲力矩的數值為：

$$M_o = \frac{\left[\frac{P\alpha_o^2}{6} - \frac{R_I(\alpha_o - \alpha_I)^3}{6\alpha_o} - \frac{C_I}{l^2} \right] l + \frac{EI\epsilon}{\sigma e}}{\frac{I}{I_H} \cdot \frac{\alpha}{2} - \frac{\gamma(\alpha_o - \alpha_I)^3}{2\alpha_o(6\gamma + \frac{2}{3})}}$$

式中: B ——魚尾板長度的一半。

l ——和接縫相鄰的枕木中心綫間距離。

l_I ——接縫軌枕中心綫間距的一半。

I ——鋼軌對通過其重心的軸綫的慣性力矩。

I_H ——兩塊魚尾板對通過重心軌的慣性力矩。

ϵ ——垂直平面內軌軌及魚尾板之間的相互移動量。

R_I ——荷載作用下取去魚尾板時, 接縫枕木上的支點反力, 其值為:

$$R_I = \frac{\frac{2}{3} + \frac{5}{6}\alpha_I + 5\gamma + 3\gamma\alpha_I}{6\gamma + \frac{2}{3}} \cdot P$$

此處 $\gamma = \frac{EI}{Dl^3}$

D ——鋼軌基礎的彈性系数。

C_I ——積分常數, 等于。

$$C_I = \frac{l^2(18\gamma^2 + 18\gamma^2\alpha_I + 26\gamma\alpha_I + 5\gamma + \frac{7}{6}\alpha_I)}{6(6\gamma + \frac{2}{3})} \cdot P$$

式中: $\alpha_I = \frac{l_I}{l}$ 。

$$\alpha_o = \frac{\theta}{l}$$

負號彎曲力矩的計算與鋼輶的情況相同。其數值按截面在兩個相等的, 且與截面等距離的車輛車輪荷載的條件下, 按下式確定:

$$M_I = \frac{1}{2K} P \cos KX (\cos KX - \sin KX)$$

除此以外, 魚尾板內彎曲應力的計算, 也可以按簡化的方法進行。由試驗確定: 一對魚尾板經受的彎曲力矩的大小, 不超過作用在整個鋼軌斷面內的彎曲力矩 M 的 85%。

考慮到兩塊魚尾板所承受的壓力, 不是均勻分布的, 所以確定一塊魚尾板最多可以承受到一對魚尾板所受的全部力矩的 60%。

所以一塊魚尾板能承受的最大彎曲力矩按下式確定:

$$M_{max} = 0.60 + 0.85M = 0.5M$$

以圖 8 所示的示意圖, 作為計算的壓力傳布示意圖, 則可用下式求算傳布到一個魚尾板上的壓力值 $2P$: